スパッタ MoS2 膜の SF6 プラズマ処理によるシート抵抗低減

Sheet-Resistance Reduction of Sputtered-MoS₂ Film by SF₆ Plasma Treatment

[°]堀口大河 ¹、濱田拓也 ¹、辰巳哲也 ²、冨谷茂隆 ²、星井拓也 ¹、角嶋邦之 ¹、筒井一生 ³、若林整 ^{1,2} 東工大・1 工学院、2 地球インクルーシブセンシング研究機構、3 科学技術創生研究院 [°]Taiga Horiguchi ¹, T. Hamada ¹, T. Tatsumi ², S. Tomiya ², T. Hoshii ¹,

K. Kakushima¹, K. Tsutsui³, and H. Wakabayashi^{1,2}

1 School of Engineering, 2 Research Institute of the Earth Inclusive Sensing, 3 IIR, Tokyo Tech E-mail: horiguchi.t.ac@m.titech.ac.jp

1. はじめに

2 次元層状半導体である MoS_2 膜は、様々な デバイス応用が期待されている。 MoS_2 膜への ドーピングにより、FET の閾値電圧制御や、寄 生抵抗の低減ができ、デバイス性能の向上が見 込まれる。 MoS_2 膜にフッ素吸着を施すと p 型 の半導体特性を示すことが報告されているが [1-2],熱的不安定性が懸念される。一方、フッ素による硫黄置換により n 型ドーピングされることがわかっている[1]。 そこで本研究では MoS_2 膜に、硫化の効果も期待して SF_6 を用いて、プラズマプロセスによりフッ素を導入し [3],その抵抗への効果を観察した。

2. 実験方法

シリコン(Si)基板上に形成した熱酸化 SiO₂ 膜に窒化チタン(TiN)で circle transmission line model (CTLM)電極を形成し、基板温度 300°C でスパッタリング法[4-5]を用いて 5 nm の MoS_2 膜を堆積した。その後、 SF_6 100%,流量 10 sccm,圧力 0.3 Pa, 5 W で生成したプラズマで処理を行った。最後にフッ素の活性化と MoS_2 膜の結晶構造改善のため、700°C で 40 分間の硫化アニールを施した[6]。その後、CTLM 法により MoS_2 膜の全抵抗を測定した[7]。

3. 結果

全抵抗のギャップ間距離依存性を Fig. 1 に示す。 SF_6 プラズマ処理を行っていない MoS_2 膜に比べて、処理された MoS_2 膜のシート抵抗

は約 1/2 に低減した。また、切片の値も低減したことから、TiN/MoS₂ コンタクト抵抗も低減したことがわかる。これはフッ素の吸着か硫黄置換、あるいはプラズマにより導入された硫黄欠陥が原因として考えられ、その判別を今後検討する。

謝辞 一部、JST の CREST (JPMJCR16F4)及び COI (JPMJCE1309)の助成を受けた。

参考文献

- [1] Y. Okada, et al., IEEE, 17th IWJT 2017, S4-3.
- [2] M. Chen, *et al*. Applied Physics Letters 103.14 (2013): 142110.
- [3] S. Wi, et al. ACSnano, 8, 5, 5270-5281, (2014)
- [4] T. Sakamoto, et al. S3S 15.6. IEEE, 2018.
- [5] T. Ohashi, *et al.* Japanese Journal of Applied Physics 54.4S (2015): 04DN08.
- [6] K. Matsuura, *et al.* Journal of Electronic Materials 47.7 (2018): 3497-3501.
- [7] M. Toyama, *et al.* Japanese Journal of Applied Physics 57.7S2 (2018): 07MA04.

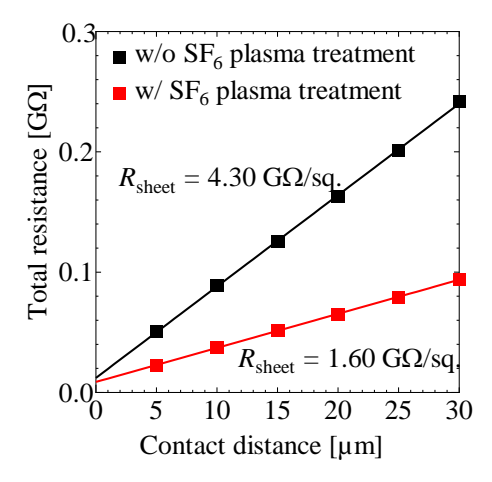


Fig. 1: Total resistance on contact distance of CTLM.